

# I-40 梯形ラーメン橋の塑性設計に関する基礎的実験について

金沢大学 正員・吉田 博  
富山県 正員 安原 宏光

## 1. 緒言

昭和42年8月、日本道路協会より『鋼構造物塑性設計基準案<sup>1)</sup>』が発表されたが、わが国における橋りょうへの塑性設計の適用は、スパンの横断歩道橋を除いてあまり見られないようである。土木構造物、特に橋りょう構造物への塑性設計法の適用が進んでいない最大の原因是、橋りょう構造物は変動する移動荷重を受けるということである。変動する移動荷重が構造物に与える作用としては、衝撃や疲労の外に、弾性限度を超える荷重に対しては、次の3つの挙動が考えられる。

1) 荷重のくり返し数と共に、構造物の変形が次第に一定値に収束し、あるくり返し数の後には、完全に弾性的挙動を示すようになる。これと構造物は変形硬化したと云う。

2) 荷重のくり返しと共に、構造物の変形が次第に増大し、ついには崩壊に至る。この現象を漸増塑性崩壊と云う。

3) 構造部材のある断面ごと、支番塑性応力が発生し、部材がこの断面ごと破壊する。この現象を支番塑性破壊または低サイクル疲労と云う。

鋼構造物塑性設計基準案では、解析は単純塑性理論によつてよいと規定されているが、橋りょう構造物のように、変動する移動荷重をうける構造物については、上記の挙動に対する検討が必要であると思われる。

本研究においては、橋りょうによく用いられるラーメン構造の梯形ラーメン橋について塑性設計法を適用する場合に、特に問題となると考えられる変形硬化に対し、実橋の約3.5分の1の模型を製作し、実験的に検討を行つた。

## 2. 実験的目的

図-1に示すように、橋長31m、柱脚支点間距離23.1mの梯形ラーメン橋について塑性設計法を適用する場合に、特に問題となると考えられる変形硬化に対し、実橋の約3.5分の1の模型を製作し、実験的に検討を行つた。

1) 変形硬化荷重が単純塑性理論で計算した崩壊荷重より、どの程度減少するか。

2) 美観上、柱脚は変断面とした方が良いが、柱脚には軸圧縮力の外にモーメントが作用し、変断面柱の不安定性についてこの検討が必要である。

3) 開角部は塑性ヒンジ生成位置であるが、一般的にはハンチを用いて補強を行う。この場合の、塑性ヒンジ位置の変化による崩壊荷重および変形硬化荷重の影響はどうなものか。

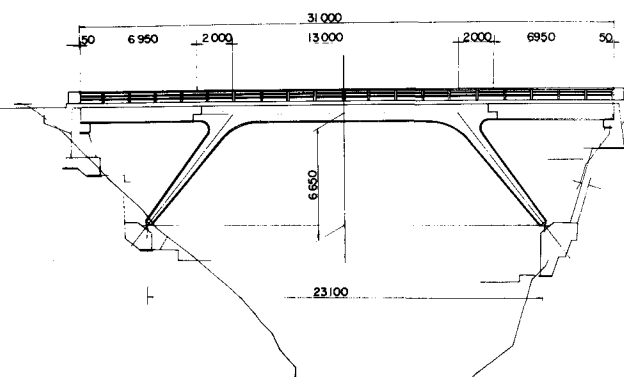


図-1 梯形ラーメン橋

4) 腹角部ハニチに接接着して生成した塑性ヒンジの全塑性モーメントが完全に他の部分に伝達するには、ハニチの構造をどのようにすればよいか。  
等について検討を行おうとするものである。

### 3. 模型の設計

模型の柱脚ヒンジ点間の距離は、装置の関係で6.5mとし、実橋と相似となるように、55/4分の1倍として、骨組線を決定し、上記の問題と特に関係しない部分は取り除いて、梯形部分のみを実験の対象とした。実橋においては、集中荷重の外に等分布死荷重および等分布活荷重が作用するが、模型においては、1個の集中荷重が移動するものとした。実橋における柱脚の軸方向力の大半は、崩壊時にわたり、断面の降伏軸力の0.1～0.2倍であり細長比は20程度であることを考慮して、崩壊荷重を10tと決定して、まず柱脚断面の決定を行った。はりの断面は、10tonの集中荷重が、はり上を移動するとき、経済的となるようW形断面構造とした。ハニチは大歯(2)により設計した。図-2は模型の詳細図を示す。

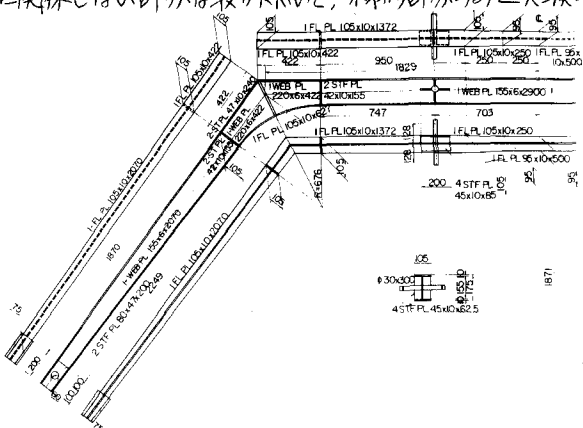


図-2 模型詳細図

### 4. 引張試験および単純曲げ試験

模型の製作に先立ち、まずフランジ用H31.0cm厚の鋼板およびウェブ用H30.6cm厚の鋼板よりそれぞれ2枚の引張試験片を作成して引張試験を行った。図-3および図-4にその結果を示す。また、図-5

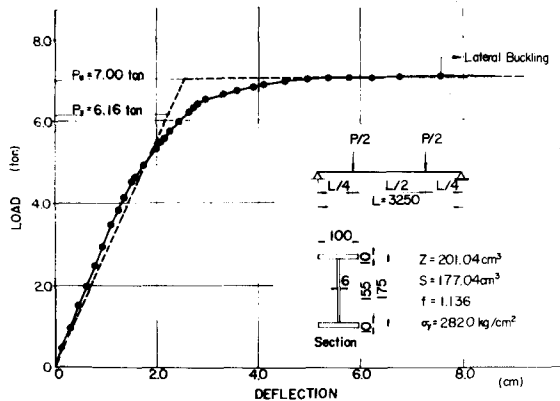


図-5 単純曲げ試験結果

に示す断面の、スパン3.25mの単純曲げ試験片を作成して、両支点よりスパンの4分の1点に集中荷重を作用させ、曲げ試験を行った。その結果を図-5に示す。

### 5. 崩壊実験

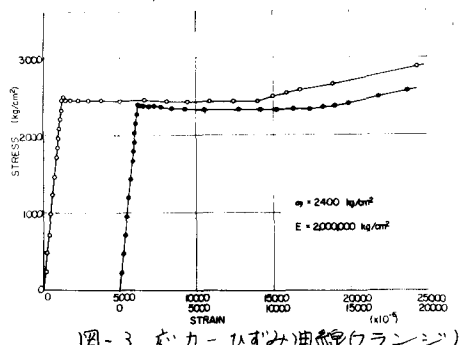


図-3 応力-ひずみ曲線(ランシ)

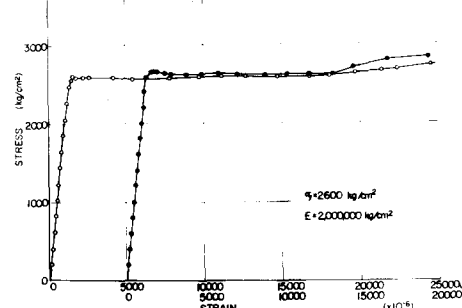


図-4 応力-ひずみ曲線

図-5に示す模型のはり上に1個の集中荷重を移動通過させた時に、最も小さい崩壊荷重とその点は、はり端より112.6 cm の点である。この点に集中荷重を作用させることとした。荷重を作用させることにより、模型は水平変位を有するが、水平変位をしきごとに鉛直に荷重が作用するように、リーハイ大学型の Gravity Load Simulator により、オイルジャッキで荷重を作用させ、Load Cell により荷重の測定を行った。模型の面外への移動を拘束するため、リーハイ大学型のブレーサー 10 個を用いた。水平変位および鉛直変位は、模型に接着した物質をレベル計およびトランシットで読み取り測定した。図-6 は実験より得られた荷重と荷重点下の鉛直たわみの関係をプロットしたものである。

## 6. 変形硬化実験

図-5に示す模型のはり上に1個の集中荷重が移動する場合、最も小さい変形硬化荷重とその点の組合せは、はり端より188.5 cm と303.6 cm である。この2点に交互に集中荷重を作用させることとした。実験装置は荷重装置を組用いたものは、崩壊実験と同様であり、図-7 に実験装置を示す。

荷重は最初小さい荷重を1つの荷重点の上で載荷し、測定を行った後に除荷して、他の荷重点に同じ大きさの荷重を作用させて測定を行い除荷して、次のサイクルに入り、各サイクルのたわみが一定値を収束したら、荷重を増加して同様の操作をくり返した。図-8 は、はり端より188.5 cm の荷重点下のたわみとサイクル数および荷重の関係を示したものである。

図-9 は図-8 で得られた収束したたわみと荷重の関係をプロットしたものである。

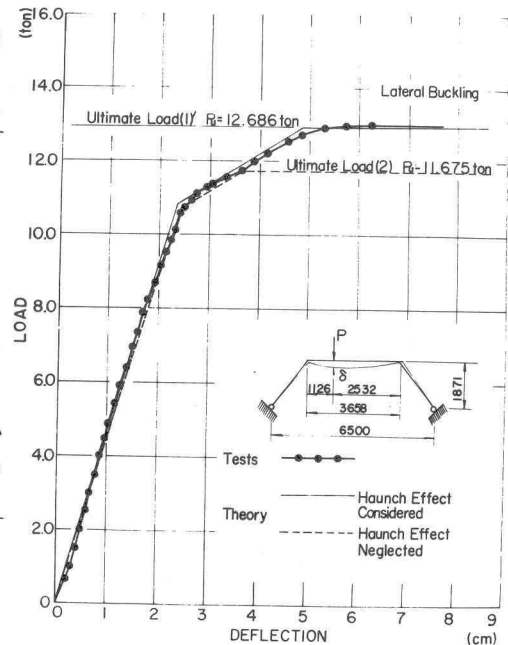


図-6 崩壊試験結果

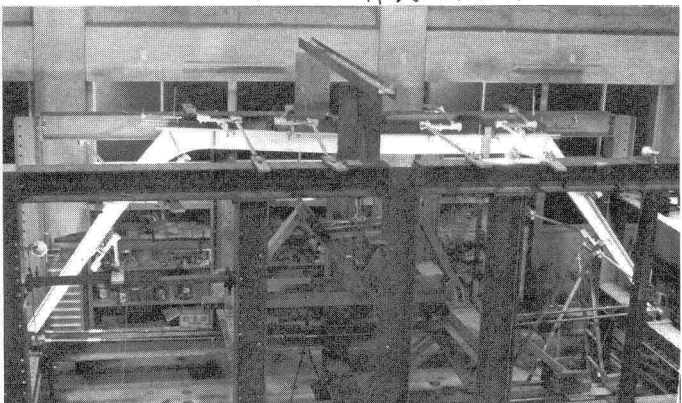


図-7 変形硬化実験

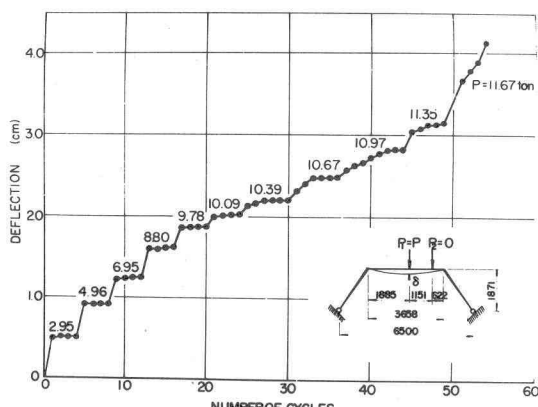


図-8 変形硬化実験結果(たわみ-サイクル数)

## 7. 実験結果よりの考察

1) 張試験より得られた降伏応力は、フランジ用の鋼材に対して  $\sigma_y = 2400 \text{ kg/cm}^2$ 、ウェブ用については、 $\sigma_y = 2600 \text{ kg/cm}^2$  であった。また、これらの材料を用いて製作した曲げ試験片の単純曲げ試験より得られた降伏応力は  $\sigma_y = 2800 \text{ kg/cm}^2$  であった。

2) 断面の柱脚は崩壊に至るまで十分に安定であり、十分な強度が得られた。

3) 腹角部にかけたのは、一応十分な強度が得られただが、反側に圧縮をうけた腹角部にかけたのは、崩壊実験より変形硬化実験ともに、塑性流れと達した後、横座屈を生じた。

4) 実験による崩壊荷重は、ハンケの強度を考慮し、降伏応力を曲げ試験から得られた  $\sigma_y = 2800 \text{ kg/cm}^2$  を用いて計算した値とよく一致したが、ハンケの強度を無視したものは、大きな差が見られた。図-10はハンケを考慮した場合と無視した場合の、崩壊時の降伏条件式を示している。

5) 実験による崩壊荷重も、ハンケの強度を考慮し、降伏応力を  $\sigma_y = 2800 \text{ kg/cm}^2$  と仮定して計算した値と良く一致した。ハンケの強度を無視したものとは、大きな差が見られた。図-11は、荷重が矢頭に作用する場合の降伏条件式を示している。

6) 変形硬化荷重は崩壊荷重の約 93 % である。

7) ハンケの強度を考慮して計算した塑性ヒンジ生成位置は、崩壊荷重と変形硬化荷重に対するそれを図-12及び図-13に示す。これよりハンケの影響は解析によって考慮すべきと思われる。

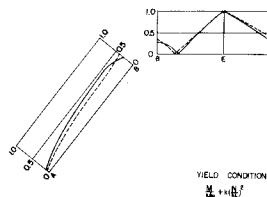


図-10 降伏条件式の値(崩壊荷重)

## 8. 参考文献

1) 日本構造協会：鋼構造物塑性設計規準(案)，昭和42年8月。

2) ASCE : Commentary on Plastic Design in Steel, Manuals of Engineering Practice, No. 41.

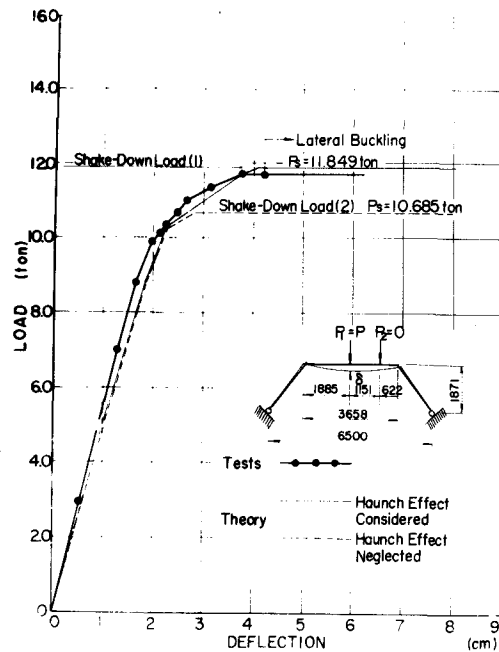


図-9 変形硬化実験(荷重一向き)

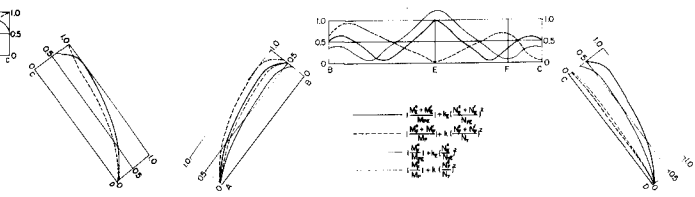


図-11 降伏条件式の値(変形硬化荷重)

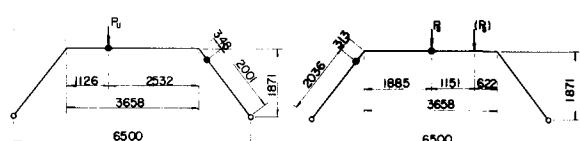


図-12 塑性ヒンジ位置  
(崩壊荷重)

図-13 塑性ヒンジ位置  
(変形硬化荷重)